

Рис. 4. Миттєвий прихід сонячної інсоляції на поверхню з кутом нахилу 33° в грудні для м. Києва

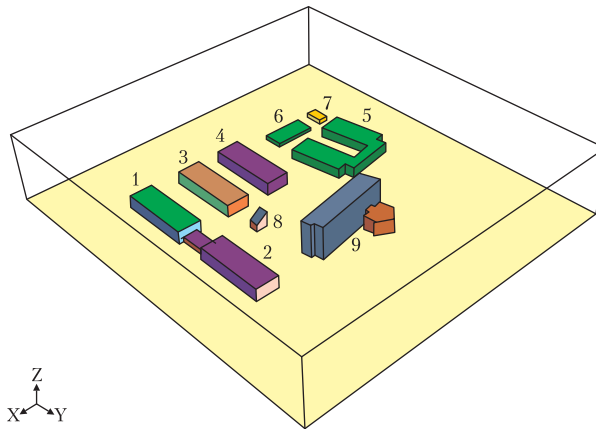


Рис. 5. Тривимірна розрахункова область

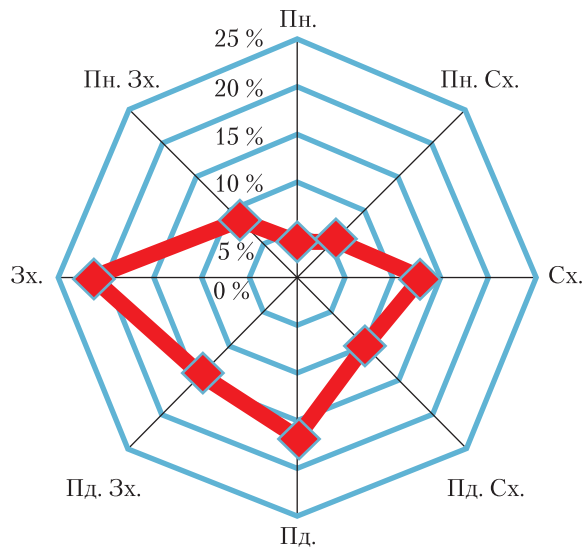


Рис. 6. Роза вітрів

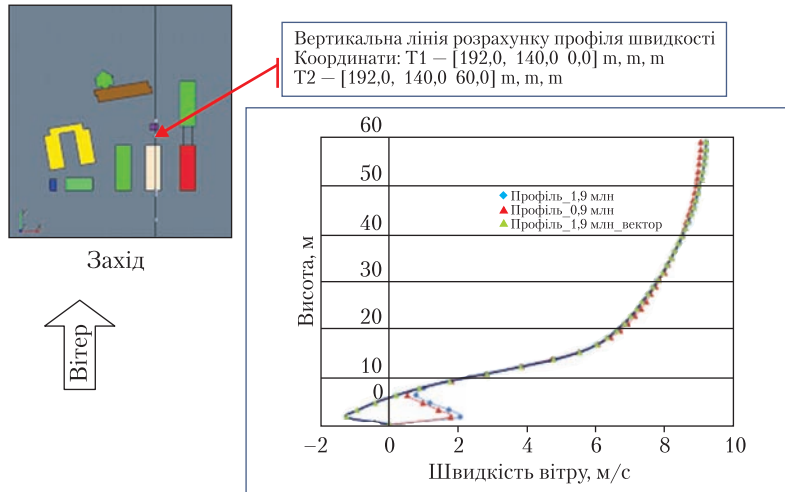


Рис. 7. Порівняння профілів швидкості вітру

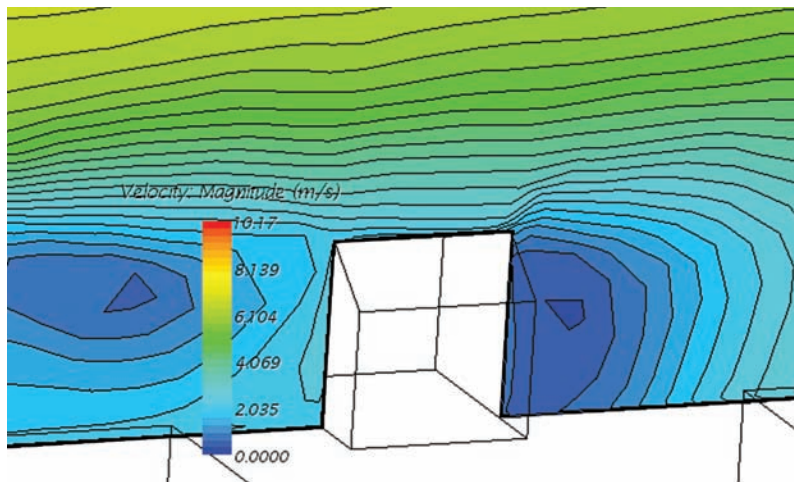


Рис. 8. Поля швидкостей вітру біля експериментального будинку

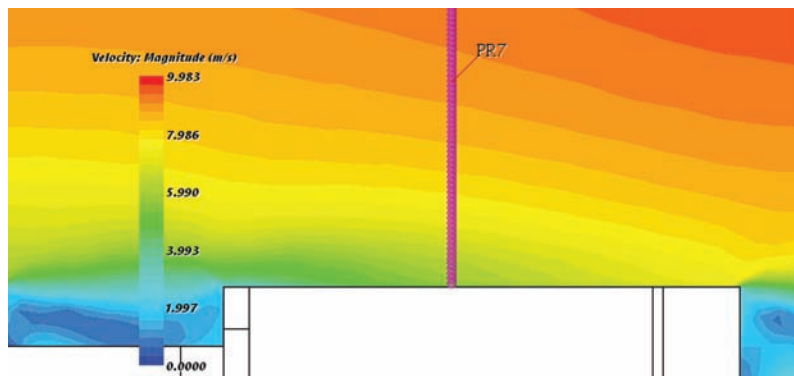


Рис. 9. Розподіл швидкостей та профіль швидкості вітру над корпусом № 1

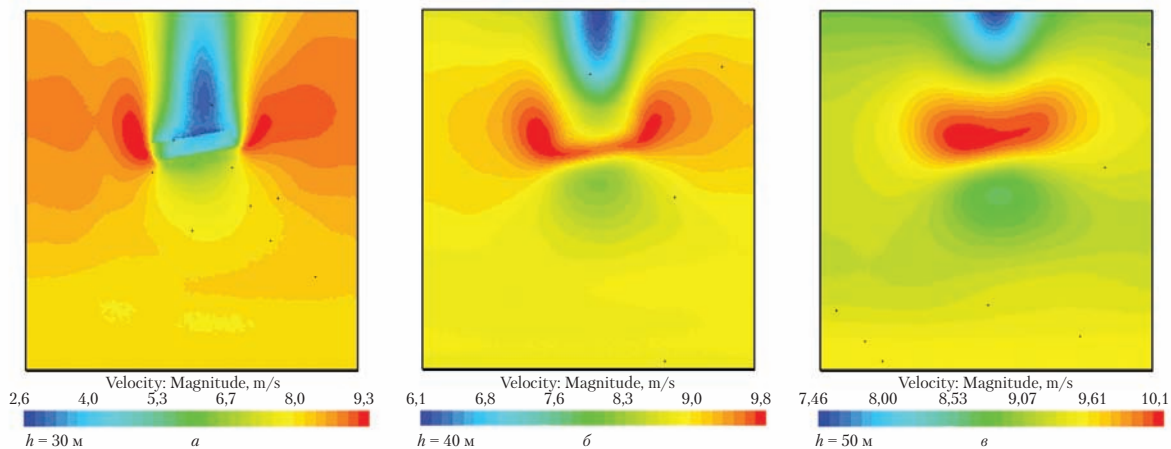


Рис. 10. Поля швидкостей вітру на різній висоті: *a* – $h = 30$ м, $U_{\max} = 9,3$ м/с; *б* – $h = 40$ м, $U_{\max} = 9,9$ м/с; *в* – $h = 50$ м, $U_{\max} = 10,4$ м/с

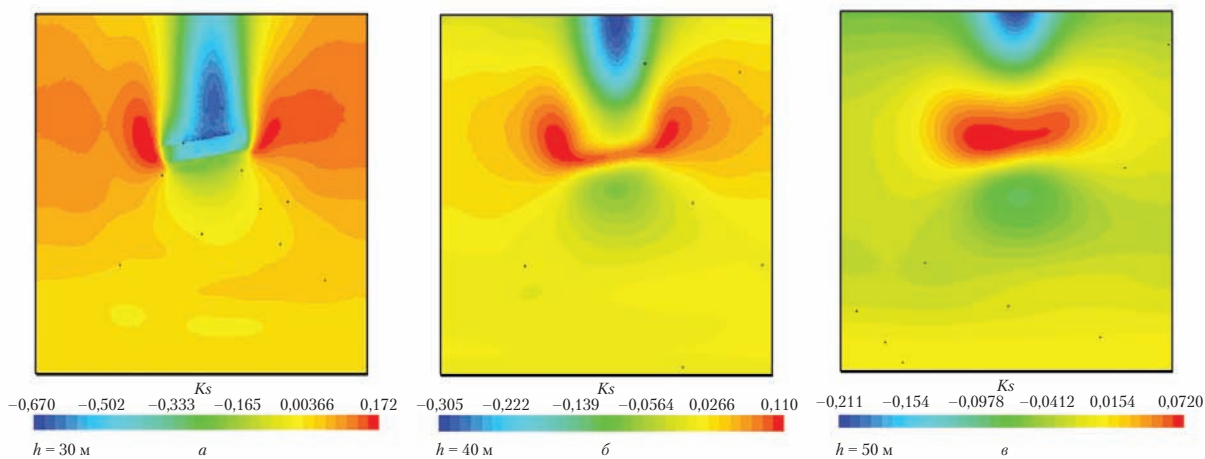


Рис. 11. Коефіцієнт швидкості вітру на різній висоті

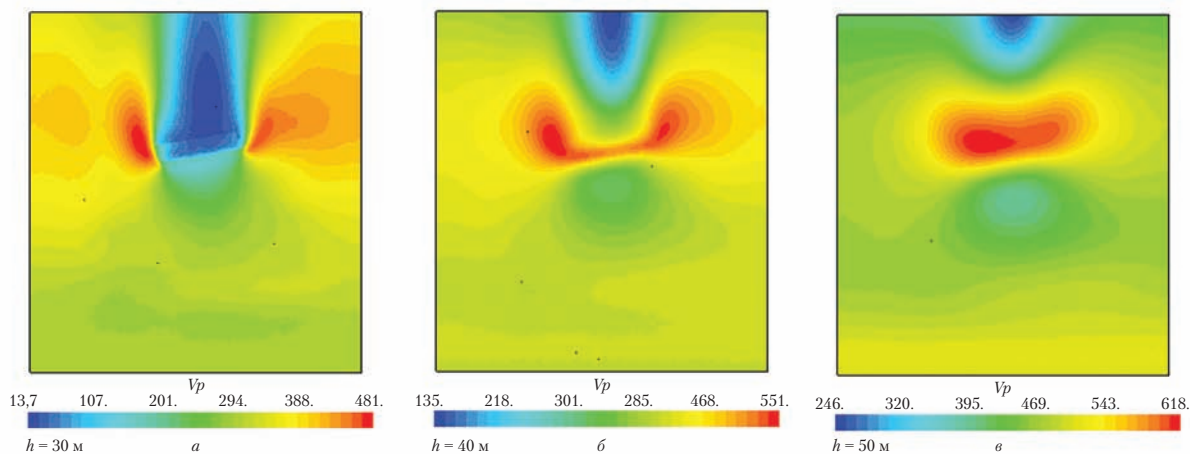


Рис. 12. Потужність вітрового потоку на різній висоті

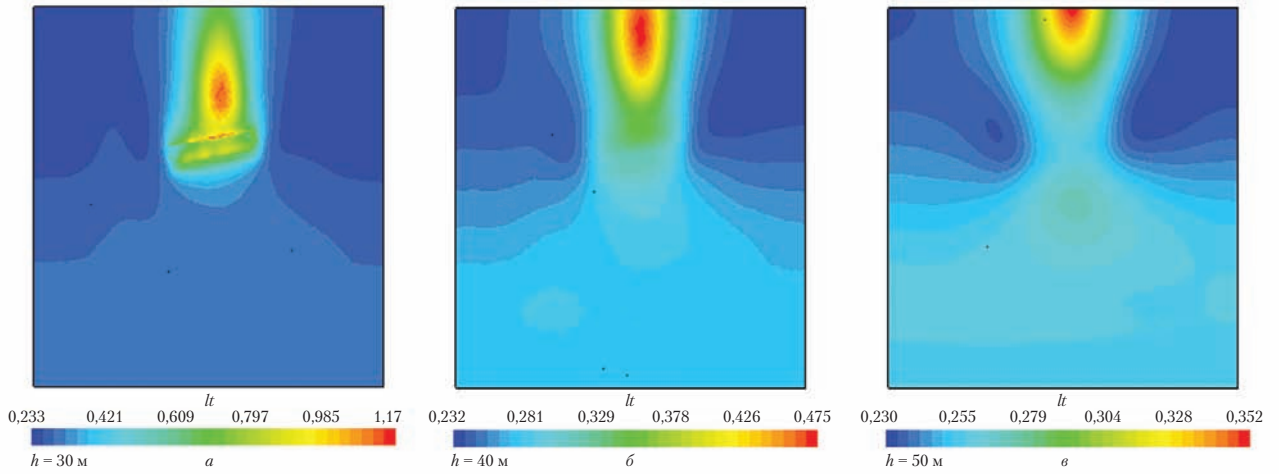


Рис. 13. Інтенсивність турбулентності на різній висоті

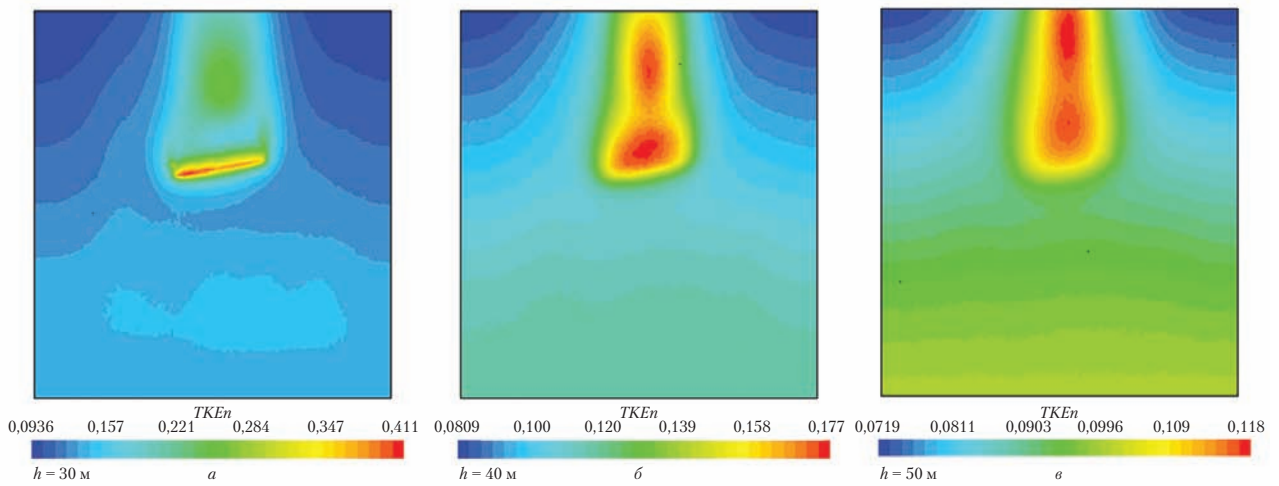


Рис. 14. Кінетична енергія турбулентності на різній висоті

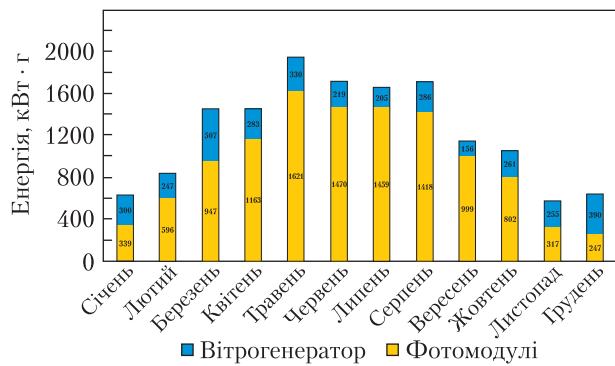


Рис. 15. Діаграма загального вироблення електроенергії сонячною станцією та вітрогенератором